

用扫描法研究 CO₂ 激光横模

复旦大学光学系工农兵学员 计荣才 卢富山

提 要

本文叙述一种鉴别 CO₂ 激光束横模结构的简单方法及测量装置。我们用这种装置对放电长 500 毫米、管径 7 毫米的 CO₂ 激光管作了实验研究。研究了放电电流、He 的分压比、总气压对输出激光模式的影响，并作了初步分析。

一、引 言

发射 10.6 微米红外光的 CO₂ 激光器，具有功率大、效率高、输出波长处于大气窗口等特点，因此在国防建设、工业生产和科学研究等方面得到广泛的应用。

许多应用，例如雷达、测距、通讯、精密加工等等，要求激光束截面的强度分布是高斯型的单模，即 TEM₀₀ 模。至少也希望有接近 TEM₀₀ 模的激光束。这是因为 TEM₀₀ 模有许多良好的特性，比如，它的发散角比其它高次横模小，能量密度高。这样用于雷达、测距、通讯，可以获得比较小的辐射面积；用于精密加工，可以会聚成线度极小、能量密度极高的光点。在这些应用中，高次模是不适宜的。因而，鉴别和研究激光束的横模对激光应用是必不可少的。我们根据科学实验为社会主义革命和社会主义建设服务的方针，研究了 CO₂ 激光束的横模，以便制造出更好的 CO₂ 激光器，为国防建设和工农业生产服务。

鉴别和研究激光束的横模，对可见光来说是比较容易的。因为可见光可以用眼观察，合适的感光材料和探测元件也比较多。但对于 10.6 微米波长的红外光来说就比较困难。10.6 微米的红外光，既不可见，又缺少合适的感光材料和使用方便的探测元件。一般用泡沫塑料烧孔^[1]，荧光涂料^[2]、液晶^[3]、热敏纸显示等方法观察；或者简单地用烧纸、烧耐火砖等方法观察。这些方法只能作较粗糙的定性分析，难于同理论进行定量地比较。虽然有人用红外扫描照相机^[4]，但设备复杂而昂贵。

本文叙述用扫描法测定连续 CO₂ 激光器输出的 10.6 微米波长激光束的横模结构，并对影响模式的某些因素，如电流、气体的混合比、充气气压作了分析。这种方法简单易行，对低次横模，特别是对 TEM₀₀ 模可同理论计算作定量地比较。

二、实验装置

我们工作中所用的实验装置如图 1。图中激光器是封离型的，它的总长 700 毫米，放电长 500 毫米。为了利用横模之间的迭合与竞争效应获得单模^[5]，选择管径为 7 毫米。镀金全反射镜曲率半径为 2.5 米，锗平面镜输出。实验时，放电管接在排气台上，以便改变气压。最佳条件下输出功率为 20 瓦，输出光斑直径 4 毫米左右。

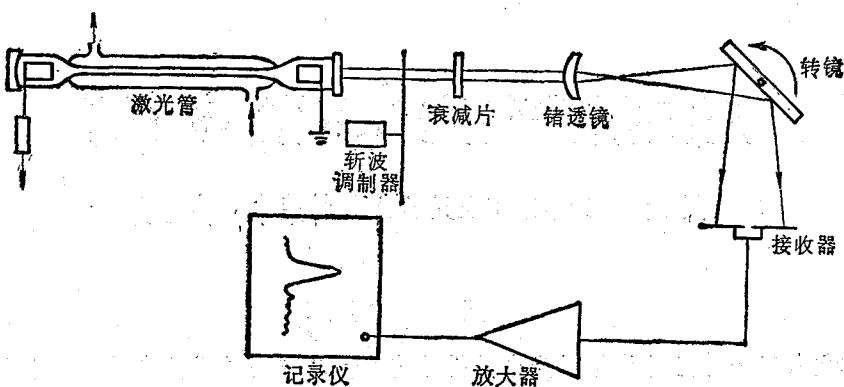


图1 测定和研究 CO_2 激光模式的实验装置示意图

激光束输出后通过检波器，调制成 1.2 千赫的光信号，经过衰减，再由锗透镜扩展。锗透镜焦距约 25 毫米，锗透镜离激光器输出窗约 1 米左右。

扩展后的光束射到反射镜上。反射镜用慢速马达驱动旋转，转速可以从 20 转/小时调节到 2 转/分。光束经过转镜反射到接收器。随着镜面的转动，在光束截面上某一直线上的各点先后进入接收器，这也就是对某一坐标轴扫描。

我们所用的接收器为 204 型热敏电阻红外探测器，探测面积约 1 平方毫米。在接收器的位置上，激光束直径扩展为几厘米。相比之下，探测面积已足够小，可以不加光阑或狭缝。适当选取衰减片的衰减量，使接收器工作在线性范围内。探测器装在一只垂直方向可以移动的支架上。实验中用转镜作 x 方向扫描，移动接收器则可测 y 方向各点的强度。

接收器接收的光信号变为电信号输入放大器。经过放大、检波，输入记录仪。我们实验中用 XWC 型自动记录仪。

三、实验结果与分析

实验用图 1 所示的装置对激光器输出横模作了研究。对我们所用的腔结构，光束截面上光强度分布是极坐标 ρ, θ 以及模数的函数。对 TEM_{pl} 模强度分布近似为^[6]

$$I(\rho, \theta) = I_0 2^l \left(\frac{\rho}{w} \right)^{2l} \left[L_p^l \left(2 \frac{\rho^2}{w^2} \right) \right]^2 \exp \left[-2 \frac{\rho^2}{w^2} \right] \cdot \cos^2 l\theta$$

其中， p, l 是模数， w 是 TEM_{00} 模斑半径，即光强下降到 $1/e^2$ 处的半宽度， $L_p^l \left(2 \frac{\rho^2}{w^2} \right)$ 为缩合拉盖尔多项式。

对于 TEM_{00} 模则可以简化为高斯型函数：

$$I(\rho) = I_0 \exp \left[-2 \frac{\rho^2}{w^2} \right]$$

因为 $\rho^2 = x^2 + y^2$ ，所以也可以写为 x, y 的函数

$$I(x, y) = I_0 \exp \left[-2 \frac{x^2 + y^2}{w^2} \right]$$

我们在实验中固定接收器位置，用转镜对 x 方向扫描。移动接收器，可以得到不同 y 值时 x 方向的分布曲线，这样可以获得二维分布 $I(x, y)$ 。分析横模是否基模实际上只要知道

$x=0$ 时 y 方向的分布, 或者 $y=0$ 时 x 方向的分布就可以了, 这样作图也比较简单、明了。所以下面我们只画出一维的分布图。

1. 单模输出和高斯曲线的比较

实验所用的激光管在比较好的条件下输出单模。我们把测量得到的实验曲线和标准高斯曲线作了比较, 见图 2。测量时有关参量: $y=0$, 总气压 35 士, 气压比 $\text{CO}_2:\text{N}_2:\text{He}$ 为 1:2:7, 电流为 8 毫安。图中实线是高斯曲线, 虚线是归一化的 x 方向扫描曲线。从图上可以看出, 实验曲线与高斯曲线基本上吻合。这说明激光输出基本上是 TEM_{00} 模。实验曲线和高斯曲线有一点偏离, 而且不是严格对称的, 这说明激光输出不是纯粹的 TEM_{00} 模。我们认为这可能是光学元件不均匀和测量误差所引起的。

从这一比较可以看到, 用图 1 的装置作定量比较还是相当满意的。

2. 模式与放电电流的关系

不同的放电电流下, x 方向记录仪扫描的典型曲线如图 3、4 所示。

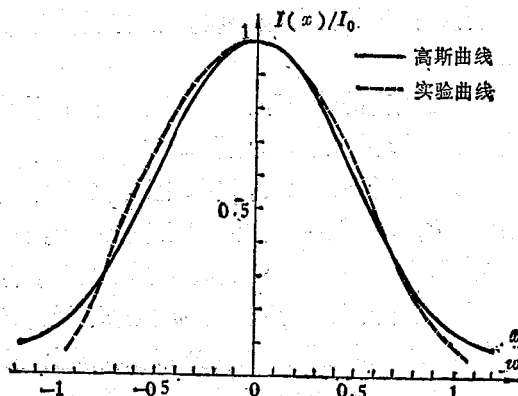


图 2 输出基模强度分布与高斯曲线的比较

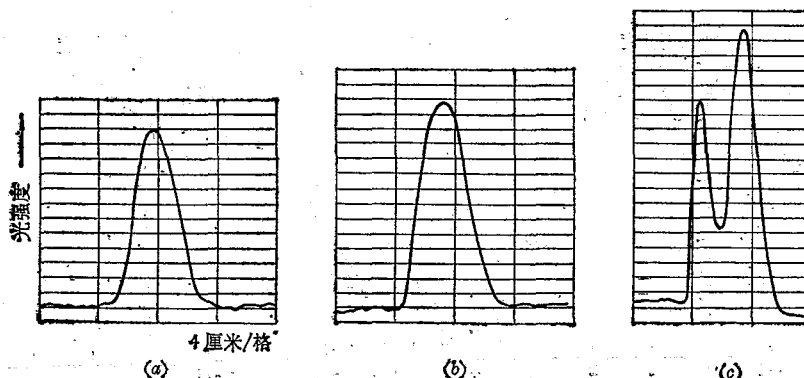


图 3 不同放电电流下 x 方向强度变化

$y=0$, (a) 电流 $I=8$ 毫安, (b) $I=10$ 毫安, (c) $I=13.5$ 毫安

测量时其他参量为: 总气压 35 士, 混合比 $\text{CO}_2:\text{N}_2:\text{He}$ 为 1:2:7, 再加入 0.3 士 Xe , 0.1 士 H_2 。

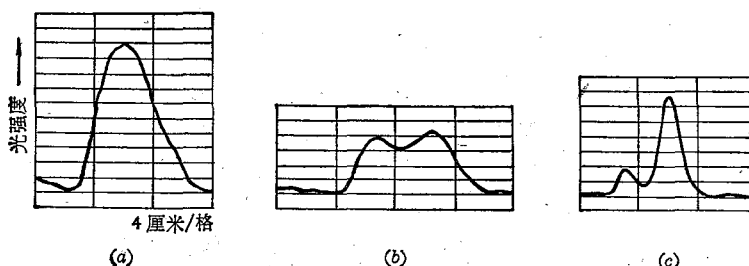


图 4 不同放电电流下 x 方向强度变化

$y=0$, (a) $I=10$ 毫安, (b) $I=13$ 毫安, (c) $I=14.5$ 毫安

其他参量为总气压 30 士, 混合比同图 3。

从图3、4的曲线可以看出，放电电流太高会出现高次模式，强度分布不再是高斯型的，而是几种模式迭加的复杂形状。这种强度分布一般是中心对称的，但是对x轴或y轴不一定对称。

电流较高的情况下出现高次模，这可从 CO_2 激光器工作机理来解释。 CO_2 激光器中，激光下能态 10^0 的粒子是通过 01^10 态的热转移来消激发的，所以 10^0 态粒子数与气体温度关系很密切。随着温度上升， 10^0 态的粒子数很快上升。而激光上能态 00^11 因为与基态相差能量比较大，粒子数与气体温度几乎无关^[7]。这样温度上升，反转粒子数下降，增益也就下降。在封离型激光器中，靠管壁冷却来降低温度，管轴附近靠扩散来冷却。当放电电流升高时，气体温度升高。升高到一定程度，扩散来不及冷却气体时，管轴附近温度比管壁附近高得多。电流小时，增益沿放电管的径向分布在轴线上是比较高的。随着电流升高，增益分布变得平坦起来，电流太高，中心增益下降，形成马鞍形^[8]。这显然不利于 TEM_{00} 模振荡，而有利于轴线上强度低的高次模振荡。

3. 模式与 He 分压比的关系

模式随 He 分压比的变化是比较明显的。我们用y方向的强度分布说明这种变化。典型的实验曲线如图5所示。因为分压比改变，输出功率相差很大，测量时，放大量、衰减量都不同。为了便于比较，作强度归一化曲线。

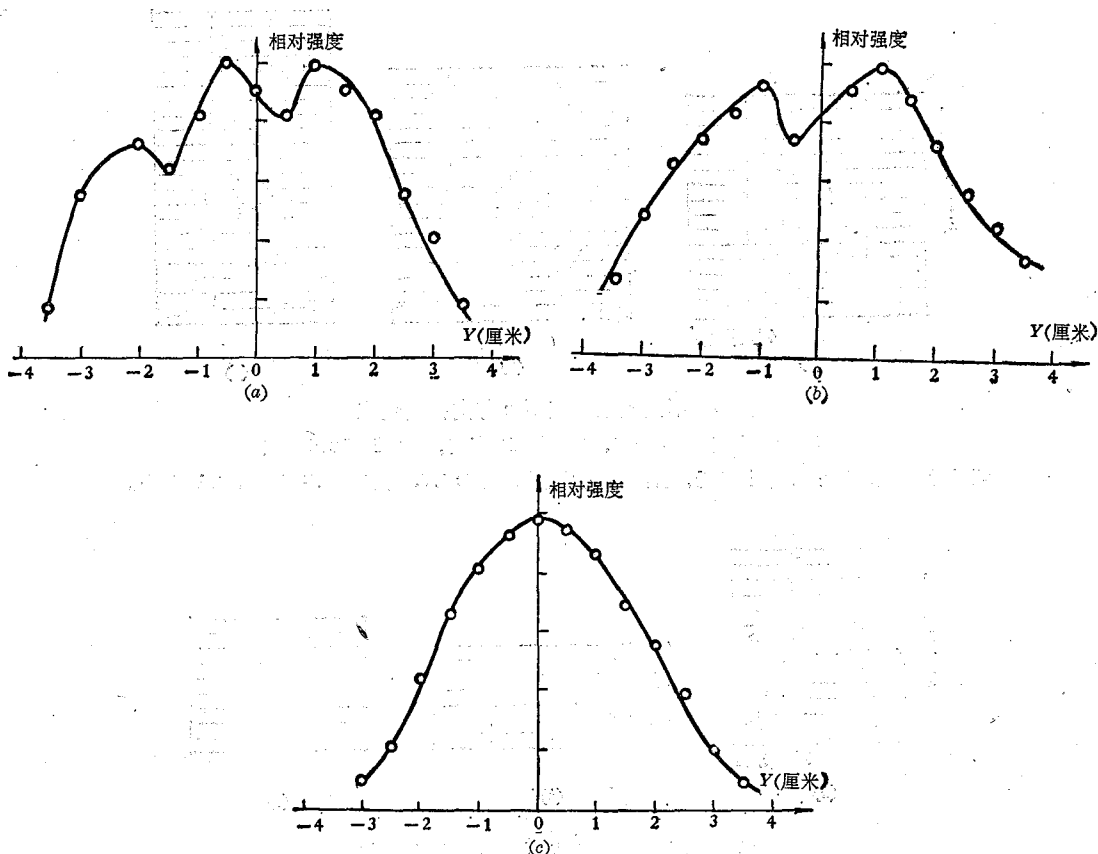


图5 不同He分压比时y方向的强度分布
 $x=0, \text{CO}_2:\text{N}_2:\text{He} \text{ 为 } (a) 1:2:3, (b) 1:2:5, (c) 1:2:7.$

测量时总气压为 38 毫, 放电电流 9 毫安。从这些曲线可以看到 He 的分压比低时, 得不到基模振荡, 分压比越低, 模式越复杂。在 $\text{CO}_2:\text{N}_2:\text{He}$ 为 1:2:7 时获得了基本上是基模的输出。

这种现象也可以用气体温度的变化来解释。一般认为 He 的主要作用是降低气体温度, He 的分压比低, 冷却效果变差, 轴线附近温度升高, 又会出现马鞍形的增益分布, 造成高次模振荡。反之, He 分压高, 有利于基模振荡。

4. 模式与总气压的关系

图 6 为不同总气压下 y 方向的强度变化的典型曲线。测量时分压比 $\text{CO}_2:\text{N}_2:\text{He}$ 为 1:2:7, 放电电流均为 10 毫安。从图上可以看到, 气压太低要出现高次模振荡。我们认为产生这种现象的原因可能是 He 的绝对量太少, 总气压降到 17 毫时, He 的含量只有 12 毫左右。而图 5 中出现三峰的图(a), He 的含量为 19 毫左右。这样冷却气体的效果显然是比较差的。看来模式不光与 He 的分压比有关, 还和 He 的绝对量有关。不过从量方面看, 我们的结果与资料[5]不一致。这一方面还需做进一步的研究。

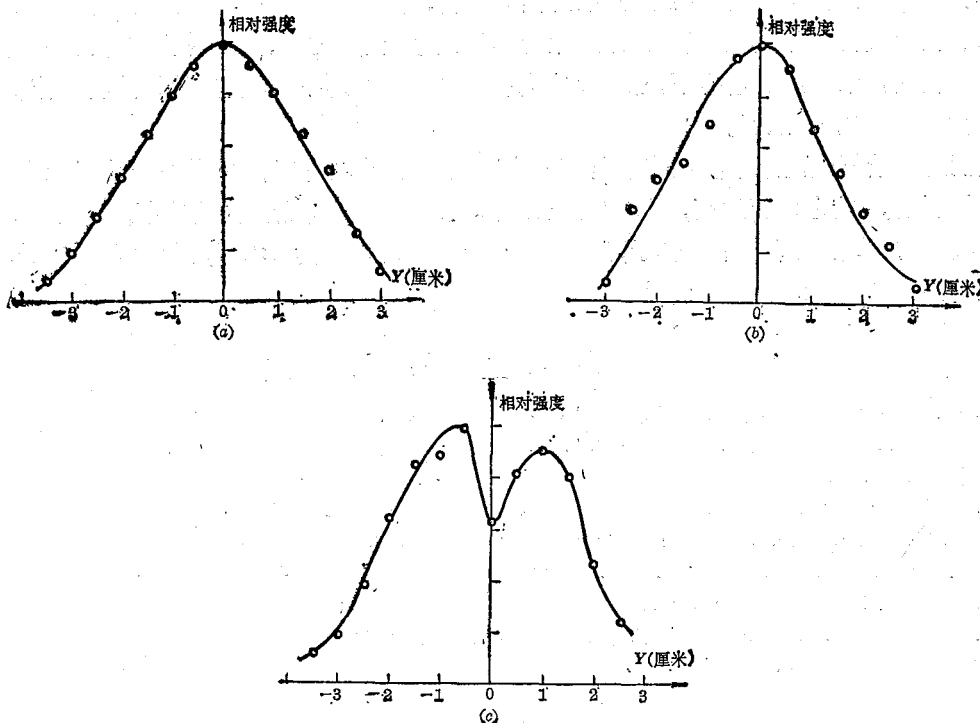


图 6 不同总气压下 y 方向强度分布
 $x=0$; 总气压分别为 (a) 32 毫, (b) 29 毫, (c) 17 毫

5. 激光器输出稳定性测量

为了估计测量误差, 我们利用图 1 所示的装置, 对实验用的激光管输出稳定性进行了测量。转镜的转速调到每分钟 2 转, 固定接收器的位置, 选择单模的情况下, 记录纸上出现一连串脉冲。这些脉冲的峰尖画出了稳定性曲线。这种方法测稳定性是方便的。测得的曲线如图 7 所示。测量时总气压 35 毫, 混合比 $\text{CO}_2:\text{N}_2:\text{He}$ 为 1:2:7, 放电电流 10 毫安。从曲线估计 15 分钟内激光输出波动约 $\pm 8\%$ 。因为我们没有采取稳定措施, 电源、水源的波动, 激光腔

的变化,放电不稳定等因素都可能是产生这种变化的原因。从测量情况来看分析,这是主要的误差来源。实验中, x 方向扫描,因为时间短,激光输出变化影响不大;在 y 方向测量时,测一组曲线需几分钟,激光输出的不稳定性就能比较明显地表现出来。

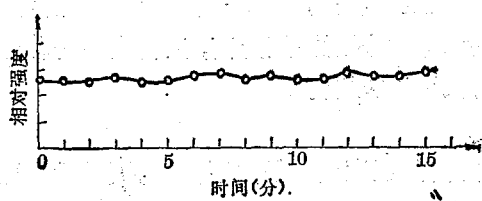


图 7 激光器输出稳定性曲线

四、总结与讨论

本文所叙述的扫描法测 CO_2 激光束的横模结构,装置简单(在记录仪灵敏度足够时,甚至可以省去放大器;只要适当考虑阻抗匹配就可以了),测量方便,是一种比较好的测量方法。如果能在提高记录速度的前提下,加快 x 方向扫描速度,再增加一个转速较慢的转镜作 y 方向扫描,用起来就更加理想了。

我们对影响模式的某些参量作了研究。初步分析了放电电流、 He 的分压比以及总气压对模式的影响。放电电流过高, He 的分压比低,总气压过低都会产生高次模,对获得基模不利。从实验看来,管径 7 毫米的管子,选择混合比 $\text{CO}_2:\text{N}_2:\text{He}$ 为 1:2:7,总气压 32 牯时,放电电流从 5 到 13 毫安,均能得到接近基模的输出。

参考资料

- [1] D. Meyerhofer, *IEEE J. Quantum Electron.*, QE-4, 1968, p. 969.
- [2] B. M. Булгаков 等,国外激光, 1973, No. 8, p. 29.
- [3] 国外激光, 1972, No. 5, p25.
- [4] R. J. Freiberg et al., *IEEE J. Quantum Electron.*, QE-8, 1972, p. 882.
- [5] W. J. Witteman, *IEEE J. Quantum Electron.*, QE-4, 1968, p. 786.
- [6] H. Kogelnik, *Appl. Opt.*, 5, 1966, p. 1550.
- [7] A. J. De Maria, *AIAA Paper*, No. 71-63.
- [8] D. L. Franzen, R. J. Collins, *IEEE J. Quantum Electron.*, QE-8, 1972, p. 400.